

# Некоторые особенности распределения вероятностей протекания нескольких жидкостей на шестиугольной решетке.

Федоров Михаил Сергеевич\*

*Аннотация.* В работе рассматривается равномерная случайная раскраска клеток шестиугольной решетки в  $2^{n-1}$  цветов (стандартная модель Поттса при бесконечной температуре), которую можно рассматривать как обобщение перколяции на  $n$  жидкостей — попарно-независимых, но зависимых в совокупности. В этой модели вводится новая наблюдаемая, которую можно интерпретировать как долю протекающих жидкостей. Для этой наблюдаемой доказывается аналог центральной предельной теоремы и формулируется несколько гипотез на основе численных экспериментов.

*Ключевые слова и фразы:* перколяция, центральная предельная теорема, шестиугольная решетка, гауссово распределение, модель Поттса.

## 1 Введение

Теория просачивания появилась во второй половине 20-го века. Она используется для моделирования различных физических процессов. Например, задачи перколяции возникают при исследовании свойств лесных пожаров и ферромагнетиков [6, 10]. Для обычной перколяции — одной жидкости — получено множество результатов, например, теорема Кестена [4] о том, что вероятность протекания между центром и границей круга стремится к нулю при увеличении радиуса. Обширный обзор и краткую историю теории перколяции можно найти в [2].

В работе исследуется модель протекания нескольких жидкостей, которая при минимальном их количестве совпадает с обычной перколяцией. Эта модель эквивалентна хорошо изученной стандартной модели Поттса [2, §2] с  $2^{n-1}$  состояниями при бесконечной температуре (знакомство с моделью Поттса для понимания статьи не требуется), в частности

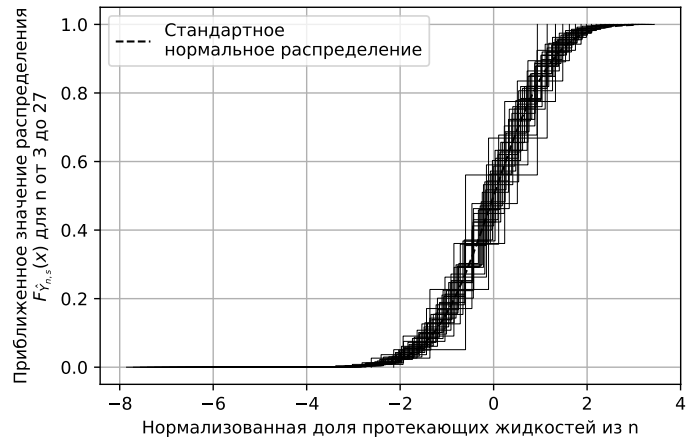


Рис. 1: К теореме 1. Распределения величин  $\frac{\sqrt{n}(\bar{X}_{n,s}-p_s)}{\sqrt{p_s(1-p_s)}}$  сходятся к нормальному.

\*fedorov.mikhail.s@gmail.com, Национальный исследовательский институт Высшая школа экономики, Факультет математики

вероятностное пространство этой модели — множество раскрасок клеток решетки в  $2^{n-1}$  цветов.

В данной работе вводится простейшая наблюдаемая, не “сводящаяся” к протеканию одной жидкости, — доля протекающих жидкостей. Для распределения этой величины доказан аналог центральной предельной теоремы (теорема 1 ниже). Численные эксперименты (см. Рис. 1 и §5) подтверждают этот результат.

Этот результат интересен, потому что рассматриваемые наблюдаемые попарно независимы, но зависимы в совокупности. Вообще говоря, для зависимых в совокупности величин центральная предельная теорема не выполняется, красивые контрпримеры приводятся в [7, 1]. Также этот результат перекликается с решением  $SU(N)$  калибровочной теории при  $N \rightarrow \infty$  [9].

В §2 вводятся определения и обозначения, необходимые для формулировки теоремы 1. В §3 приводится доказательство этой теоремы. В §5 описан численный эксперимент и сформулированы задача 1 и гипотеза 1 (см. Рис. 2). В §4 приводится формализм, который, надеемся, может пригодится для решения этих задач.

## 2 Основной результат

Для формулировки основного результата нам понадобятся следующие определения и обозначения (Рис. 3). Для каждого целого  $s \geq 2$  рассмотрим множество  $M_s$  всех клеток шестиугольной решетки со стороной клетки 1, расположенных внутри правильного шестиугольника со сторонами длины  $s\sqrt{3}$ , перпендикулярными сторонам клеток, и с центром в центре клетки  $O$ . Множество  $M_s$  содержит  $m + 1 \stackrel{\text{def}}{=} 1 + 3s(s - 1) \stackrel{\text{def}}{=} 1 + 3s(s - 1)$  клеток. Клетки, кроме центральной  $O$ , пронумеруем:  $v_1, \dots, v_m$ . *Соседними* клетками будем называть те, у которых есть общая сторона. *Граничными* назовем те клетки, у которых в множестве  $M_s$  менее шести соседних.

Для каждого целого  $n \geq 2$  обозначим множество раскрасок клеток (кроме центральной) в  $2^{n-1}$  цветов

$$\Omega_{n,s} \stackrel{\text{def}}{=} \{(f_1, \dots, f_n) : \{v_1, \dots, v_m\} \rightarrow \{0, 1\}^n \mid f_1 + \dots + f_n \equiv 1 \pmod{2}\}.$$

Заметим, что  $|\Omega_{n,s}| = 2^{(n-1)m}$ . Элементы множества  $\Omega_{n,s}$  будем называть *раскрасками* в  $2^{n-1}$  цветов. Смысл такого определения сейчас станет ясен.

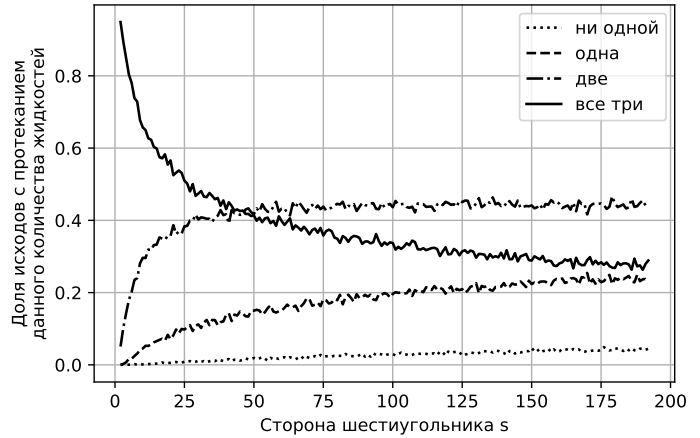


Рис. 2: К гипотезе 1. Изменение вероятности протекания данного количества жидкостей при росте размера шестиугольника, если всего три жидкости.

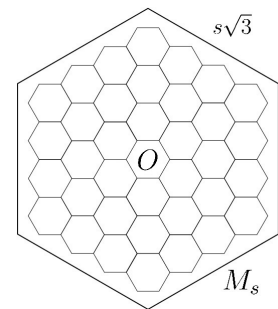


Рис. 3: Множество  $M_s$

В дальнейшем мы будем рассматривать  $\Omega_{n,s}$  как вероятностное пространство с мерой  $P(A) = |A|2^{-(n-1)m}$  для всех  $A \subset \Omega_{n,s}$  (оно изоморфно стандартной модели Поттса с  $2^{n-1}$  состояниями при бесконечной температуре).

Путь  $S$  от центра до границы назовём последовательность различных клеток  $v_{j_1}, \dots, v_{j_t}$  такую, что клетка  $v_{j_1}$  — соседняя с  $O$ , клетки  $v_{j_l}$  и  $v_{j_{l+1}}$  — соседние для каждого  $l \geq 1$ , и клетка  $v_{j_t}$  является граничной. Пусть  $i \in \{1, \dots, n\}$ . Будем говорить, что  $i$ -я жидкость протекает от центра до границы для данной раскраски  $f = (f_1, \dots, f_n) \in \Omega_{n,s}$ , если существует путь  $S = (v_{j_1}, \dots, v_{j_t})$  от центра до границы, такой что для всех  $l = 1, \dots, t$  выполнено  $f_i(v_{j_l}) = 1$ .

Протеканием  $i$ -ой жидкости назовем событие

$$A_{n,s,i} \stackrel{\text{def}}{=} \{f \in \Omega_{n,s} \mid i\text{-я жидкость протекает от центра до границы для раскраски } f\}.$$

Несложно видеть, что вероятность протекания жидкости не зависит ни от ее номера  $i$ , ни от общего количества жидкостей  $n$ . А именно, для всех  $s, n, q, i, j$  верно  $P(A_{n,s,i}) = P(A_{n,s,j})$  и  $P(A_{n,s,i}) = P(A_{q,s,i})$ . Обозначим эту вероятность  $p_s \stackrel{\text{def}}{=} P(A_{2,s,1})$ . Кроме того, при  $n \geq 3$  события протекания жидкостей с различными номерами попарно независимы (например, по лемме 1 ниже), но, вообще говоря, зависимы в совокупности (например, для  $n = 3$  и  $s = 2$ ). Именно для того, чтобы присутствовала нетривиальная зависимость жидкостей в совокупности, мы рассматриваем раскраски в  $2^{n-1}$ , а не в  $2^n$  цветов.

Определим случайную величину  $X_{n,s,i}: \Omega_{n,s} \rightarrow \{0, 1\}$  формулой

$$X_{n,s,i}(f) \stackrel{\text{def}}{=} \begin{cases} 1, & \text{если } i\text{-ая жидкость протекает от центра} \\ & \text{до границы для раскраски } f; \\ 0, & \text{иначе.} \end{cases}$$

Назовем  $\bar{X}_{n,s} \stackrel{\text{def}}{=} \frac{1}{n} \sum_{i=1}^n X_{n,s,i}$  долей протекающих до границы жидкостей.

**Теорема 1** (Центральная предельная теорема для доли протекающих жидкостей).

Для любого  $s$  функция распределения случайной величины  $\frac{\sqrt{n}(\bar{X}_{n,s} - p_s)}{\sqrt{p_s(1 - p_s)}}$  сходится равномерно к стандартному нормальному распределению при  $n \rightarrow \infty$ .

Численные эксперименты (см. §5) подтверждают этот результат (Рис. 1).

### 3 Доказательство

Для доказательства теоремы 1 невозможно сразу применить центральную предельную теорему, потому что у нас нет одной последовательности случайных величин, а есть последовательность их наборов. Поэтому воспользуемся независимостью в совокупности всех величин, кроме одной, и покажем, что оставшаяся «слабо» влияет на функцию распределения. При этом мы не будем оценивать «степень независимости» всего набора величин — сделать это сложнее, чем доказать саму теорему 1 [8].

Для доказательства теоремы 1 понадобятся три несложные леммы.

**Лемма 1.** Для любых  $n, s$  любое подмножество мощности  $n - 1$  набора событий  $\{A_{n,s,1}, \dots, A_{n,s,n}\}$  есть набор событий, независимый в совокупности.

*Доказательство.* Так как жидкости можно перенумеровать, то без ограничения общности рассмотрим набор  $\{A_{n,s,1}, \dots, A_{n,s,n-1}\}$  и проверим, что для любого  $k = 2, \dots, n-1$  выполнено

$$P(A_{n,s,1} \cap \dots \cap A_{n,s,k}) = P(A_{n,s,1}) \cdots P(A_{n,s,k}).$$

Протекание  $i$ -ой жидкости при раскраске  $f$  определяется функцией  $f_i$ . Легко видеть, что для каждого  $i$  имеется  $2^m p_s$  функций  $f_i: \{v_1, \dots, v_m\} \rightarrow \{0, 1\}$  таких, что  $i$ -ая жидкость протекает из центра до границы при раскраске  $(f_1, \dots, f_{i-1}, f_i, f_{i+1}, \dots, f_n) \in \Omega_{n,s}$  для некоторого выбора функций  $f_1, \dots, f_{i-1}, f_{i+1}, \dots, f_n$ . Тогда имеется  $(2^m)^{n-1} (p_s)^k$  наборов функций  $(f_1, \dots, f_k, f_{k+1}, \dots, f_n)$  таких, что жидкости  $1, \dots, k$  протекают, так как для каждого набора  $(f_1, \dots, f_k)$  функции  $f_{k+1}, \dots, f_{n-1}$  можно выбирать произвольно, а функция  $f_n$  восстанавливается однозначно по формуле

$$f_n(v) = f_1(v) + \dots + f_{n-1}(v) \pmod{2}.$$

Значит,  $P(A_{n,s,1} \cap \dots \cap A_{n,s,k}) = 2^{m(n-1)} p_s^k / 2^{m(n-1)} = p_s^k$ . Так как для каждого  $i$  верно  $P(A_{n,s,i}) = p_s$ , то получаем требуемое равенство.  $\square$

Одновременным протеканием ровно  $k$  жидкостей из  $n$  назовем событие

$$B_{n,s,k} \stackrel{\text{def}}{=} \left\{ f \in \Omega_{n,s} \mid \sum_{i=1}^n X_{n,s,i}(f) = k \right\}.$$

Легко видеть, что  $p_s = P(B_{2,s,2}) + \frac{1}{2}P(B_{2,s,1})$ .

**Лемма 2.** Для всех целых  $s \geq 2$ ,  $n \geq 3$  и  $1 \leq i \leq n$  имеем

$$\begin{aligned} \mathbb{E} \bar{X}_{n,s} &= \mathbb{E} X_{n,s,i} = p_s, \\ \mathbb{D} \bar{X}_{n,s} &= \mathbb{D} X_{n,s,i} = p_s(1 - p_s), \\ \mathbb{E} |X_{n,s,i} - p_s|^3 &= p_s(1 - p_s)(1 - 2p_s + 2p_s^2) < \infty. \end{aligned}$$

Для всех  $s$  имеем  $\lim_{n \rightarrow \infty} \max_k P(B_{n,s,k}) = 0$ .

Для всех  $k, n$  имеем  $\lim_{s \rightarrow \infty} P(B_{n,s,k}) = 0$ .

*Замечание 1.* Последнее утверждение не используется для доказательства теоремы 1. В численном эксперименте при  $n = 3$ ,  $s < 200$  стремления к нулю вероятностей  $P(B_{n,s,k})$  не видно. А именно, на рисунке 2 эти вероятности возрастают для каждого  $k < 3$ .

*Доказательство.* Во-первых, из линейности матожидания  $\mathbb{E} \bar{X}_{n,s} = \mathbb{E} X_{n,s,i} = p_s$ . А так как по лемме 1 для всех  $n \geq 3$ ,  $s \geq 2$  события  $A_{n,s,i}$  попарно независимы, то  $\mathbb{D} \bar{X}_{n,s} = \mathbb{D} X_{n,s,i} = p_s(1 - p_s)$ . Также

$$\mathbb{E} |X_{n,s,i} - p_s|^3 = p_s(1 - p_s)^3 + (1 - p_s)p_s^3 = p_s(1 - p_s)(1 - 2p_s + 2p_s^2) < \infty.$$

Во-вторых, количество элементов множества  $\Omega_{n,s}$ , для которых от центра до границы протекают ровно  $k$  жидкостей из  $n$ , равно  $2^{m(n-1)} P(B_{n,s,k})$ . Рассмотрим естественное вложение множества  $\Omega_{n,s}$  в  $\Omega_{n+1,s}$ : элемент  $(f_1, \dots, f_n) \in \Omega_{n,s}$  переходит в элемент  $(f_1, \dots, f_{n+1}) \in \Omega_{n+1,s}$ , где  $f_{n+1}$  — тождественно нулевая функция. (Неформально, мы забываем про ограничение  $f_1 + \dots + f_n \equiv 1 \pmod{2}$ .) В силу леммы 1,

ровно  $k$  жидкостей из первых  $n$  протекает для  $2^{mn} \binom{n}{k} p_s^k (1-p_s)^{n-k}$  раскрасок в  $2^n$  цветов. В силу того, что при вложении раскраски в  $2^{n-1}$  цветов, для которых протекает ровно  $k$  жидкостей из  $n$ , отображаются в раскраски в  $2^n$  цветов, для которых протекает ровно  $k$  жидкостей из первых  $n$ , то  $2^{m(n-1)} P(B_{n,s,k}) \leq 2^{mn} \binom{n}{k} p_s^k (1-p_s)^{n-k}$ . А тогда

$$\max_k P(B_{n,s,k}) \leq 2^m \max_k \left( \binom{n}{k} p_s^k (1-p_s)^{n-k} \right) \rightarrow 0 \text{ при } n \rightarrow \infty,$$

где последнее следует из теоремы Муавра–Лапласа [3, том 1, §. VII.3].

В-третьих, по определению одновременного протекания,

$$\begin{aligned} P(B_{n,s,k}) &= \sum_{1 \leq i_1 < \dots < i_k \leq n} P \left( A_{n,s,i_1} \cap \dots \cap A_{n,s,i_k} \setminus \bigcup_{j \notin \{i_1, \dots, i_k\}} A_{n,s,j} \right) \leq \\ &\leq \sum_{1 \leq i_1 < \dots < i_k \leq n} P(A_{n,s,i_1} \cap \dots \cap A_{n,s,i_k}) = \binom{n}{k} P(A_{n,s,1} \cap \dots \cap A_{n,s,k}) \leq \\ &\leq \binom{n}{k} P(A_{n,s,k}) = \binom{n}{k} p_s \rightarrow 0 \text{ при } s \rightarrow \infty, \end{aligned}$$

где последнее доказывается аналогично теореме Кестена [5, 4, теор. 2].  $\square$

Для фиксированного  $s$  определим случайные величины  $Y_{n,k} = X_{n,s,k} - p_s$  для всех  $k = 1, \dots, n$ . Обозначим  $\bar{Y}_{n,s} \stackrel{\text{def}}{=} \bar{X}_{n,s} - p_s = \frac{1}{n} \sum_{i=1}^n Y_{n,i}$  и  $\bar{Z}_{n,s} = \frac{1}{n-1} (Y_{n,1} + \dots + Y_{n,n-1})$ .

Будем обозначать через  $F_X$  функцию распределения случайной величины  $X$ , а через  $N(x)$  — стандартное нормальное распределение.

**Лемма 3.** Для каждого фиксированного  $s$  верно  $F_{\bar{Z}_{n,s}} - F_{\bar{Y}_{n,s}} \Rightarrow 0$  на  $\mathbb{R}$  при  $n \rightarrow \infty$ .

*Доказательство.* (См. Рис. 4) Обозначим через  $C_{n,s,k} \stackrel{\text{def}}{=} \Omega_{n,s} \setminus A_{n,s,k}$  — событие “непротекания”  $k$ -ой жидкости. Заметим, что так как  $\bar{Z}_{n,s}$  — дискретная величина, принимающая значения  $-p_s, \frac{1}{n-1} - p_s, \dots, \frac{n-2}{n-1} - p_s, 1 - p_s$ , то  $F_{\bar{Z}_{n,s}}$  постоянна на всех полуинтервалах  $[\frac{k-1}{n-1} - p_s, \frac{k}{n-1} - p_s)$ , где  $k \in \{1, \dots, n-1\}$ .

Тогда, так как  $\frac{k}{n} \in [\frac{k-1}{n-1}, \frac{k}{n-1})$ , то

$$\begin{aligned} F_{\bar{Z}_{n,s}} \left( \frac{k}{n} - p_s \right) - F_{\bar{Y}_{n,s}} \left( \frac{k}{n} - p_s \right) &= \\ &= F_{\bar{Z}_{n,s}} \left( \frac{k-1}{n-1} - p_s \right) - F_{\bar{Y}_{n,s}} \left( \frac{k}{n} - p_s \right). \end{aligned}$$

Кроме того, по определению,  $F_{\bar{Z}_{n,s}} \left( \frac{k-1}{n-1} - p_s \right)$  равно вероятности того, что среди первых  $n-1$  жидкостей протекает не больше  $k-1$ , а именно

$$\begin{aligned} F_{\bar{Z}_{n,s}} \left( \frac{k-1}{n-1} - p_s \right) &= \sum_{0 \leq j \leq k} (P(B_{n,s,j} \cap A_{n,s,n}) + \\ &+ P(B_{n,s,j-1} \cap C_{n,s,n})), \end{aligned}$$

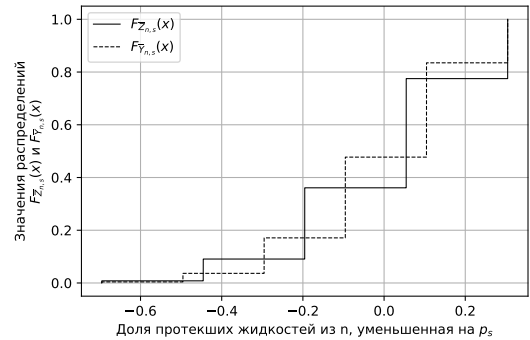


Рис. 4: Графики  $F_{\bar{Z}_{n,s}}$  и  $F_{\bar{Y}_{n,s}}$

где считаем  $B_{n,s,-1} = \emptyset$ , и аналогично,

$$F_{\bar{Y}_{n,s}}\left(\frac{k}{n} - p_s\right) = \sum_{0 \leq j \leq k} P(B_{n,s,j}) = \sum_{0 \leq j \leq k} (P(B_{n,s,j} \cap A_{n,s,n}) + P(B_{n,s,j} \cap C_{n,s,n})).$$

Вычитая, находим

$$F_{\bar{Z}_{n,s}}\left(\frac{k-1}{n-1} - p_s\right) - F_{\bar{Y}_{n,s}}\left(\frac{k}{n} - p_s\right) = -P(B_{n,s,j} \cap C_{n,s,n})$$

Таким образом, получаем

$$0 \geq F_{\bar{Z}_{n,s}}\left(\frac{k}{n} - p_s\right) - F_{\bar{Y}_{n,s}}\left(\frac{k}{n} - p_s\right) \geq -P(B_{n,s,k}) \geq -\max_k P(B_{n,s,k}).$$

Аналогично, так как  $F_{\bar{Y}_{n,s}}$  постоянна на  $[\frac{k}{n} - p_s, \frac{k+1}{n} - p_s) \ni \frac{k}{n-1} - p_s$ ,

$$\begin{aligned} F_{\bar{Z}_{n,s}}\left(\frac{k}{n-1} - p_s\right) - F_{\bar{Y}_{n,s}}\left(\frac{k}{n-1} - p_s\right) &= F_{\bar{Z}_{n,s}}\left(\frac{k}{n-1} - p_s\right) - F_{\bar{Y}_{n,s}}\left(\frac{k}{n} - p_s\right) = \\ &= P(B_{n,s,k} \cap A_{n,s,n}) \leq P(B_{n,s,k}) \leq \max_k P(B_{n,s,k}). \end{aligned}$$

Так как обе функции  $F_{\bar{Z}_{n,s}}$  и  $F_{\bar{Y}_{n,s}}$  постоянны на полуинтервалах  $[\frac{k-1}{n-1} - p_s, \frac{k}{n} - p_s)$  и  $[\frac{k}{n} - p_s, \frac{k+1}{n} - p_s)$  и на лучах  $(-\infty, -p_s)$  и  $[1 - p_s, +\infty)$ , то в силу предыдущих выкладок для всех  $x \in \mathbb{R}$  верно  $|F_{\bar{Z}_{n,s}}(x) - F_{\bar{Y}_{n,s}}(x)| \leq \max_k P(B_{n,s,k})$ . В силу леммы 2 имеем  $\max_k P(B_{n,s,k}) \rightarrow 0$  при  $n \rightarrow \infty$ , что влечет  $F_{\bar{Z}_{n,s}} - F_{\bar{Y}_{n,s}} \Rightarrow 0$  при  $n \rightarrow \infty$  на  $\mathbb{R}$ .  $\square$

*Доказательство теоремы 1.* Воспользуемся леммой 2 и обозначим через  $\sigma^2 \stackrel{\text{def}}{=} DY_{n,i} = DX_{n,s,i} = p_s(1-p_s)$  дисперсию случайной величины  $X_{n,s,i}$ , а через  $\rho \stackrel{\text{def}}{=} E|Y_{n,i}|^3 < \infty$ . Введем также случайные величины

$$\hat{Z}_{n,s} = \frac{Y_{n,1} + \dots + Y_{n,n-1}}{\sigma\sqrt{n-1}} = \frac{\sqrt{n-1}}{\sigma} \bar{Z}_{n,s} \quad \text{и} \quad \hat{Y}_{n,s} = \frac{\sqrt{n-1}}{\sigma} \bar{Y}_{n,s}.$$

Так как по лемме 1 любой набор из  $n-1$  случайных величин из набора  $X_{n,s,1}, \dots, X_{n,s,n}$  независим в совокупности, то то же самое верно для величин из набора  $Y_{n,1}, \dots, Y_{n,n}$ . Кроме того, последние случайные величины одинаково распределены и  $E|Y_{n,k}|^3 = \rho < \infty$ . Применив неравенство Берри-Эссеена [3, том 2, стр. 542, §5, теор.1] к набору величин  $Y_{n,1}, \dots, Y_{n,n-1}$ , получим для всех  $x \in \mathbb{R}$

$$\left| F_{\hat{Z}_{n,s}}(x) - N(x) \right| \leq \frac{3\rho}{\sigma^3 \sqrt{n-1}}.$$

В частности,  $F_{\hat{Z}_{n,s}}(x) \Rightarrow N(x)$  при  $n \rightarrow \infty$  на  $\mathbb{R}$  для каждого фиксированного  $s$ . Но

$$F_{\hat{Z}_{n,s}}(x) - F_{\hat{Y}_{n,s}}(x) = F_{\bar{Z}_{n,s}}\left(\frac{x\sigma}{\sqrt{n-1}}\right) - F_{\bar{Y}_{n,s}}\left(\frac{x\sigma}{\sqrt{n-1}}\right) \Rightarrow 0,$$

где последнее стремление следует из леммы 3. Так как  $F_{\hat{Z}_{n,s}}(x) \Rightarrow N(x)$ , то и  $F_{\hat{Y}_{n,s}}(x) \Rightarrow N(x)$ . Так как  $N(\frac{\sqrt{n}}{\sigma}x) \Rightarrow N(x)$ , то  $F_{\frac{\sqrt{n}}{\sigma}\bar{Y}_{n,s}}(x) \Rightarrow N(x)$  при  $n \rightarrow \infty$ .  $\square$

## 4 Выражение для вероятности протекания жидкостей.

Предложим формализм, который, надеемся, может оказаться полезным для решения задачи 1 ниже.

Зафиксируем число  $s \geq 2$  и множество  $M_s$ . Рассмотрим  $S = \{s_1, \dots, s_k\}$  — (непустой, неупорядоченный) набор попарно различных путей от центра до границы. Так как существует конечное количество путей, то и их наборов тоже конечное количество. Обозначим количество путей в наборе решеткой:  $\#S \stackrel{\text{def}}{=} k$ . Обозначим количество клеток шестиугольника, занимаемых набором путей, через  $|S| \stackrel{\text{def}}{=} |s_1 \cup \dots \cup s_k|$ .

**Предложение 1.** *Верно следующее равенство:*

$$p_s = - \sum_{S - \text{набор путей}} (-1)^{\#S} 2^{-|S|}.$$

*Доказательство.* Рассмотрим все пары  $(f, S)$  из раскраски  $f$  в два цвета и набора  $S$  путей такие, что все клетки, по которым проходят пути из набора, пропускают первую жидкость, то есть для каждой клетки  $v \in s_1 \cup \dots \cup s_k$  выполнено  $f_1(v) = 1$ . Заметим, что для каждой такой пары первая жидкость протекает от центра до границы для раскраски  $f$ , так как набор путей  $S$  не пуст по определению. Припишем каждой паре  $(f, S)$  знак  $(-1)^{\#S}$ . Посчитаем сумму знаков всех пар двумя способами.

Для данного набора путей  $S$  есть  $2^{m-|S|}$  пар  $(f, S)$ , так как есть  $m - |S|$  клеток, не принадлежащих ни одному из путей, каждую из которых можно раскрасить в 2 цвета. Поэтому сумма знаков всех рассматриваемых пар равна

$$\sum_{S - \text{набор путей}} (-1)^{\#S} 2^{m-|S|}. \quad (1)$$

С другой стороны, для фиксированной раскраски  $f$ , если первая жидкость не протекает от центра до границы для  $f$ , то нет ни одной пары вида  $(f, S)$  среди рассматриваемых. Пусть теперь первая жидкость протекает до границы. Пусть есть ровно  $k$  различных несамопересекающихся путей  $s$  таких, что для всех клеток  $v \in s$  первая жидкость протекает через эти клетки, то есть  $f_1(v) = 1$ . Тогда пар  $(f, S)$  таких, что  $\#S = l$ , среди рассматриваемых ровно  $\binom{k}{l}$ . Тогда для фиксированного  $f$  сумма знаков всех пар  $(f, S)$  равна

$$-\binom{k}{1} + \binom{k}{2} - \dots + (-1)^k \binom{k}{k} = -1. \quad (2)$$

Тогда сумма знаков всех рассматриваемых пар равна  $-2^m p_s$ . Приравняв это число выражению (1) и разделив на  $-2^m$ , получаем требуемое равенство.  $\square$

Зафиксируем  $s$  и  $n = 3$ . Для набора путей  $S = \{s_1, \dots, s_k\}$  обозначим множество клеток, по которым эти пути проходят, через  $\text{Cells}(S) \stackrel{\text{def}}{=} s_1 \cup \dots \cup s_k$ . Для каждой тройки наборов путей  $\{S_1, S_2, S_3\}$  обозначим  $T_0 = M_s \setminus (\text{Cells}(S_1) \cup \text{Cells}(S_2) \cup \text{Cells}(S_3))$ ,  $T_1 = \bigcup_{\sigma \in S_3} \text{Cells}(S_{\sigma(1)}) \setminus (\text{Cells}(S_{\sigma(2)}) \cup \text{Cells}(S_{\sigma(3)}))$  и  $T_{2-3} = \text{Cells}(S_1) \cup \text{Cells}(S_2) \cup \text{Cells}(S_3) \setminus T_1$ .

**Предложение 2.** Верно следующее равенство:

$$P(B_{3,s,3}) = - \sum_{S_1, S_2, S_3 \text{ — наборы путей}} (-1)^{\#S_1 + \#S_2 + \#S_3} 2^{-|T_1|} 4^{-|T_2-3|}.$$

*Доказательство.* Доказательство аналогично предыдущему. Рассмотрим все четверки  $(f, S_1, S_2, S_3)$  из раскраски  $f$  в четыре цвета и наборов путей  $S_1, S_2, S_3$  такие, что все клетки, по которым проходят пути из набора  $S_i$ , пропускают  $i$ -ую жидкость, то есть для каждой клетки  $v \in \text{Cells}(S_i)$  выполнено  $f_i(v) = 1$  для  $i \in \{1, 2, 3\}$ . Заметим, что для каждой такой четверки первые три жидкости протекают от центра до границы для раскраски  $f$ , так как наборы путей  $S_i$  не пусты по определению. Припишем каждой четверке  $(f, S_1, S_2, S_3)$  знак  $(-1)^{\#S_1 + \#S_2 + \#S_3}$ . Посчитаем сумму знаков всех четверок двумя способами.

Для данной тройки наборов путей  $(S_1, S_2, S_3)$  есть  $2^{|T_1|} 4^{|T_0|}$  четверок  $(f, S)$ , так как есть  $|T_0|$  клеток, не принадлежащих ни одному из путей, каждую из которых можно раскрасить в 4 цвета и  $|T_1|$  клеток, принадлежащих путям ровно из одного набора, каждую из которых можно раскрасить в 2 цвета. Поэтому сумма знаков всех рассматриваемых пар равна

$$\sum_{S \text{ — набор путей}} (-1)^{\#S} 2^{|T_1|} 4^{|T_0|}. \quad (3)$$

С другой стороны, для фиксированной раскраски  $f$ , если какая-либо жидкость не протекает от центра до границы для  $f$ , то нет ни одной четверки вида  $(f, S_1, S_2, S_3)$  среди рассматриваемых. Пусть теперь каждая жидкость протекает до границы. Пусть есть ровно  $k_1, k_2, k_3$  различных несамопересекающихся путей  $s$  таких, что для всех клеток  $v \in s$  первая, вторая и, соответственно третья жидкость протекает через эти клетки, то есть  $f_1(v) = 1, f_2(v) = 1$  или  $f_3(v) = 1$  соответственно. Тогда четверок  $(f, S_1, S_2, S_3)$  таких, что  $\#S_1 = l_1, \#S_2 = l_2$  и  $\#S_3 = l_3$  среди рассматриваемых ровно  $\binom{k_1}{l_1} \binom{k_2}{l_2} \binom{k_3}{l_3}$ . Тогда, применив равенство (2) три раза, получим, что для фиксированного  $f$  сумма знаков всех четверок  $(f, S_1, S_2, S_3)$  равна

$$\sum_{l_1=1}^{k_1} \sum_{l_2=1}^{k_2} \sum_{l_3=1}^{k_3} (-1)^{l_1+l_2+l_3} \binom{k_1}{l_1} \binom{k_2}{l_2} \binom{k_3}{l_3} = \sum_{l_1=1}^{k_1} \sum_{l_2=1}^{k_2} (-1)^{l_1+l_2} \binom{k_1}{l_1} \binom{k_2}{l_2} (-1) = \dots = -1.$$

Тогда сумма знаков всех рассматриваемых пар равна  $-4^m P(B_{3,s,3})$ . Приравняв это число выражению (3) и разделив на  $-4^m$ , получаем требуемое равенство.  $\square$

## 5 Численный эксперимент

Нами была написана программа, перебирающая случайный набор раскрасок множества  $M_s$  без центральной клетки в  $2^{n-1}$  цветов и проверяющая протекание каждой жидкости в каждой из раскрасок. После чего подсчитывалась количество протекающих жидкостей. Код с комментариями можно найти в [11].

*Приблизительной вероятностью события  $B_{n,s,k}$*  считается доля раскрасок из числа рассмотренных, для которых протекло ровно  $k$  жидкостей. Так как рассматриваемые раскраски выбирались равновероятно из всего множества раскрасок, то примерные вероятности событий действительно близки к  $P(B_{n,s,k})$  по закону больших чисел.



К сожалению, точный подсчет значений вероятностей представляется невозможным для современных компьютеров. Например, для  $s = 5$  и  $n = 3$  нужно покрасить 60 клеток в 4 цвета. Тогда существует  $2^{120} > 10^{36}$  различных раскрасок.

Для начала было проверено утверждение основной теоремы 1. Были построены графики плотности вероятности для  $s = 100$  и  $n = 1, 2, \dots, 25$ . На полученном рисунке 1 также изображена плотность вероятности нормального распределения. Также были построены графики функции  $\frac{P(\prod_{i=1}^n A_{n,s,i})}{p_s^n}$ ,

измеряющей степень зависимости событий протекания в совокупности, для разных  $s$ . Как видно на рисунке 5 отклонение этого отношения от 1 составляет не более 0.05 при  $n = 3$ . Аналогичные результаты получаются и для других значений  $n$ , но они менее наглядные, так как с ростом  $n$  точность вычислений падает. Так, например, для  $n = 11$  наибольшее отклонение от 1 составляет уже 0.14.

На рисунке 2 показаны графики вероятности  $P(B_{3,s,k})$  в зависимости от  $s$ . Видно, что эти значения стремятся к нулю не сразу, а перед этим они “меняют взаимное расположение”. А именно, для достаточно больших  $s$ , чем больше  $k$ , тем меньше вероятность, что протечет ровно  $k$  жидкостей из  $n$ , что соответствует нашей интуиции.

На основе полученных результатов сформулированы следующие гипотезы и задачи.

**Задача 1.** Верно ли, что события протекания различных жидкостей становятся независимы в совокупности в пределе  $s \rightarrow \infty$ , то есть для всех  $n \geq 3$

$$\lim_{s \rightarrow \infty} \frac{P(\prod_{i=1}^n A_{n,s,i})}{p_s^n} = 1?$$

Заметим, что любой поднабор из не более чем  $n - 1$  таких событий независим в совокупности по лемме 1.

**Задача 2.** Верно ли, что для всех  $0 \leq k \leq n \geq 3$  имеем  $P(B_{n,s,k}) \sim \binom{n}{k} p_s^k (1 - p_s)^{n-k}$  при  $s \rightarrow \infty$ ?

Против утверждения задачи 1 приводится аргумент К. Изъюрова в статье Новикова [8, §4.4]. Мы не приводим этот аргумент, так как для понимания он требует прочтения статьи [8] целиком.

**Гипотеза 1.** Для всех  $n, i < j$  и достаточно больших  $s$  имеем  $P(B_{n,s,i}) > P(B_{n,s,j})$ .

## 6 Благодарности

Автор выражает благодарность своему научному руководителю, Скопенкову Михаилу Борисовичу, за плодотворные обсуждения и помощь в написании статьи. Также

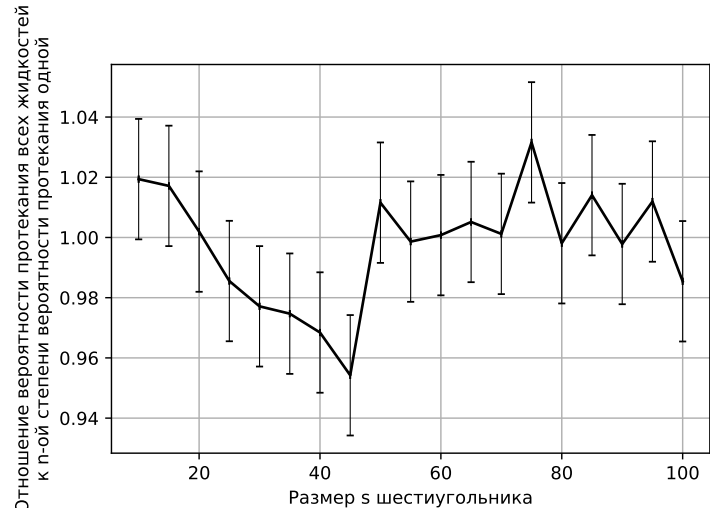


Рис. 5: К задаче 1 при  $n = 3$ . Вероятность отклонения больше указанного не превышает 0.05.

автор благодарит Л. Петрова, прочитавшего данную работу и приславшего ценные комментарии, и М. Христофорова за ценные замечания.

## Список литературы

- [1] C. Bradley, Richard. (2009). A strictly stationary, “causal”, 5-tuplewise independent counterexample to the central limit theorem. *Latin American Journal of Probability and Mathematical Statistics*. 7. [arXiv:0911.2905v1](https://arxiv.org/abs/0911.2905v1)
- [2] Duminil-Copin, Hugo. (2017). Sixty years of percolation. [arXiv:1712.04651v1](https://arxiv.org/abs/1712.04651v1)
- [3] W. Feller, An introduction to probability theory and its application, Wiley (1966, 1968)
- [4] Kesten, H., Percolation theory for mathematicians, Birkhäuser, Boston, 1982.
- [5] H. Kesten, The critical probability of bond percolation on the square lattice equals  $\frac{1}{2}$ . *Comm. Math. Phys.*, 74(1):41–59, 1980.
- [6] D. Stauffer, A. Aharony, Introduction to Percolation Theory, 2nd ed., Taylor and Francis, London, (1994)
- [7] Svante, Janson. (1988). Some pairwise independent sequences for which the central limit theorem fails. *Stochastics: An International Journal of Probability and Stochastic Processes*. 23. 439-448. DOI: 10.1080/17442508808833503.
- [8] И. В. Новиков, Протекание трёх жидкостей на шестиугольной решетке, препринт 2019
- [9] Поляков А. М. Калибровочные поля и струны. — Ижевск, 1999. 312 с.
- [10] Эфрос А. Л. Физика и геометрия беспорядка. М.: Наука, 1982 – 176 с.
- [11] <https://github.com/m-fedorov-s/AroundPercolationProblem>